

ماگماسیم ژوراسیک و کرتاسه در ناحیه مری - اسبکشان، شمال - شمال باخته زیر پنهانه درونه - کاشمر (خارتوران)

رضا کهنسال^{*}، صدیقه ذوالقاری^۱ و مهرداد فیرایی پور^۲

^۱سازمان زمین‌شناسی و اکتشافات معدنی کشور، تهران، ایران.

تاریخ دریافت: ۱۳۸۷/۰۴/۳۱

تاریخ پذیرش: ۱۳۸۸/۰۴/۳۰

چکیده

این منطقه بخش کوچکی از ناحیه ساختاری سبزوار است که در بین استان‌های سمنان و خراسان رضوی جای دارد. در این ناحیه سن کهن‌ترین سنگ‌های رسوبی، ژوراسیک میانی است و همراه با آنها افق‌هایی از گدازه‌های رویلیتی - ریوداسیتی با گرایش کلسیمی - قلایی وجود دارند. پیدایش نخستین گدازه‌های بازالتی با گرایش قلایی همراه با دایک‌های دیابازی در کرتاسه پایین بوده است. از طرفی، حجم بسیار زیادی از گدازه‌ها و دایک‌های رسوبی اسیدی با ترکیب ریوداسیتی - داسیتی، گدازه‌ها و دایک‌های میانه با ترکیب تراکی آندزیتی، و دایک‌های بازالتی با گرایش کلسیمی - قلایی در کرتاسه ابوفی از سنگ‌آهک‌های پلاژیک کرم رنگ مایل به صورتی در پایان کرتاسه بالا نمایان شده است. مجموعه سنگ‌های یاد شده با رخنمون‌هایی از سنگ‌های رسوبی پالتوسن پوشیده شده‌اند. بررسی نمودارهای تغییرات عنصری هارکر بیانگر تأثیر فرایند آلاش مگمای در کرتاسه آتشفشاری سنگ‌های آتشفشاری کمان آتشفشاری و همزمان نمودارهای عنکبوتی تأیید می‌شود. جایگاه زمین‌ساختی سنگ‌های ژوراسیک میانی و کرتاسه بالای بیانگر سنگ‌های آتشفشاری کمان آتشفشاری و همزمان با برخوردی است که به ترتیب بر اثر سازوکار جنبش‌های زمین‌ساختی سیمیرین میانی و لارامید ایجاد شده است. با این حال پیامد فاز کوهزاری اتریشین در منطقه مری به تشکیل سنگ‌های آتشفشاری بازیک کرتاسه پایین با جایگاه درون صفحه قاره‌ای عناصر کمیاب نمایان شده است. در گامه‌های پایانی کرتاسه و آغاز سنتزهای کوهزاری لارامید در چهره یک فاز فشارشی سبب بسته شدن حوضه رسوبی مورد سخن، چن خوردگی و خروج آن از آب شده است. تها در ناحیه مری نبود بخش‌های نفوذی مربوط به یک پیکره افیولیتی بالغ، وجود سنگ‌های آتشفشاری و رسوبی در بالاترین بخش‌های این پیکره، و از طرف دیگر حضور گسل‌های فشاری و راستالغز با سازوکارهای مهم و همسان با گسل درونه نشانگر زمین‌درزهای کهن و بسته شدن زود هنگام این بخش از ناوه درونه - کاشمر و تشکیل آمیزه رنگین در این ناحیه بوده است.

کلیدواژه‌ها: سبزوار، ناوه درونه - کاشمر، آلودگی ماگمایی، سیمیرین میانی، اتریشین، لارامید، آمیزه رنگین

E-mail: Kohansal_reza@yahoo.com

*نویسنده مسئول: رضا کهنسال

۱- مقدمه

مورد آتشفشاری پس از افیولیت‌ها بیان داشته‌اند. به نظر (Lensch 1980) در این نواحی هر کدام از توده‌های افیولیتی دارای ویژگی‌های منحصر به فردی از پراکنش واحدهای افیولیتی گوناگون هستند. برای مثال، در کمپلکس افیولیتی تربت حیدریه بزرگ‌ترین واحدهای اولترامافیکی و سرپانتینیتی وجود دارد، در حالی که در افیولیت کاشمر بیشترین کمپلکس دایک‌های صفحه‌ای دیده می‌شود. با این وجود در میان اینها افیولیت سبزوار کامل‌ترین توالی افیولیتی را نشان می‌دهد. این افیولیت به عنوان بخشی از شاخه شمالی اقیانوس تیس جوان معرفی شده که بازشدگی و بسته شدن آن در کرتاسه پسین رخ داده است (Adhami 1990 و Sengor, 1980 و Ohnenstetter, 1980). (Lench, 1980) در ارائه مدل زمین‌ساختی رشته کوه‌های سبزوار سامانه گسلی راستالغز را عامل مهمی در باز و بسته شدن حوضه کافنی سبزوار می‌داند. (Noghreyan 1982) به بررسی Spise et al. (1983) ضمن بررسی حوضه کافنی یادشده فرورانش با شیب به سوی شمال پوسته اقیانوسی تیس را عامل اصلی پیدایش کمان ماگمایی جزیره‌ای از ائوسن به بعد در این ناحیه می‌داند. به نظر (Baroz et al. 1983) مجموعه آتشفشاری کرتاسه بالایی در این ناحیه نشانگر پیکره نبالع یک کمان ماگمایی جزیره‌ای با عمری کوتاه است که بر اثر چرخش بلوك لوت شکل گرفته و بارتباط با تیس جوان است. (Hafez 1994) در شرح کلی افیولیت‌های ایران به افیولیت‌های سبزوار هم اشاره‌ای کرده است. Ghazi et al. (1997b) در شرح کلی افیولیت‌های ایران به افیولیت‌های سبزوار را مطالعه کرده‌اند. Adhami (1998) به بررسی سنگ‌شناسی سنگ‌های افیولیتی منطقه باعجر سبزوار، Shirzadi (1999) به مطالعه سنگ‌های افیولیتی و بعد از افیولیتی منطقه

مهم‌ترین محور ارتباطی منطقه، جاده آسفالتی بیار جمند - زمان آباد - بردسكن است. افزون بر این، از محور یاد شده راههای فرعی دیگری (خاکی) منشعب می‌شوند که امکان دستیابی به رخنمون‌ها و گستره‌های زمین‌شناسی را ممکن می‌سازند. از آن شمار باید به راههای فرعی گرماب پایین به اسبکشان، ابوالحسنی به چاه مرئی، گرماب پایین به کوه کمرسنگی، فرینو به رودخانه سهولک و زمان آباد به نور اشاره کرد (شکل ۱). منطقه مورد بررسی در شمال کویر بزرگ ایران است و براساس تقسیم‌بندی‌های ساختاری (Alavi 1991) و Stoklin (1968)، به ترتیب در پهنه ساختاری ایران مرکزی و پهنه ساختاری سبزوار جای دارد. بر پایه تقسیم‌بندی پهنه‌های رسوبی - ساختاری عمده ایران (Aghanabati, 2005) منطقه مورد مطالعه در پهنه مرکزی جای دارد، که بخش‌هایی از پوسته اقیانوسی تیس جوان را دربرگرفته است. رخسارهای سنگی منسوب به تیس جوان در چهره توالی افیولیتی در ناوه سبزوار توسط افراد زیر بررسی شده است: پوسته‌های اقیانوسی یاد شده رخنمون‌هایی از افیولیت‌های پیرامون ریز قاره ایران مرکزی هستند که به شکل کمریند نایپوسته‌ای (Takin, 1972) به دور آن دیده می‌شوند. مجموعه افیولیتی مورد نظر حاصل بسته شدن بخشی از تیس جوان خاوری به چهره کمریند نزدیک به خاوری - باخته است. (Ricou et al. 1973) بر این باورند که ناوه سبزوار بقایایی از اقیانوس تیس جوان است و سن کهن‌ترین سنگ‌های آن تریاس است. (Vaziri Tabar و Sadredini 1976)؛ Alavi Tehrani (1976) و (Alavi Tehrani 1974) به مطالعه و بررسی توالی افیولیتی ناوه سبزوار پرداخته‌اند. (Lensch et al. 1977) سنگ‌شناسی و Zmien شناسی کمریند شمالی افیولیت سبزوار / خراسان را بررسی کرده‌اند. (Mihm 1979) در (Adhami 1998) و (Alavi Tehrani 1980) نتایج یک سری بررسی‌های خود را در

(شکل ۴). نتایج چینه‌شناختی و دیرینه‌شناختی به دست آمده از بخش‌های رسویی این مجموعه به شرح زیر سن آنها را آپسین- آلین نشان می‌دهد (Salamati, 2000)

Hedbergella sp., *Globigerina* sp., *Biglobigerinella* sp., *Globocheta* sp., *Lenticulina* sp., *Dictyoconus* sp., *Miliolids*, *Orbitolina* sp., *Valvulammina picardi*, Radiolaria.

در بین رخمنون سنگ‌آهک‌های کرتاسه پایین دایک‌های دیابازی خاکستری تیره مایل به سیاه دیده می‌شود که روند آنها شمال باختر- جنوب خاور است. بخش‌های میانی کرتاسه بالا در چهره شیل‌های کربناتی آواری و مارن‌های ژپس‌دار با سنگ‌آهک رسی و ماسه‌سنگ به رنگ خاکستری تا خاکستری روشن مایل به سبز در نواحی شمالی می‌جلوه گر شده است و سن آنها با توجه به سنگواره‌های زیر بیانگر سونومائین- ساتونین است (Mohtat, 2005).

Marfinotruncana sinuosa, *Marginotruncana renzi*, *Heterohelix reussi*, *Lentalia* sp.

بر مبنای یافته‌های Kohansal et al. (2008) در منطقه مری رخساره‌های کرتاسه بالایی بخش‌های گسترده‌ای از منطقه مورد پژوهش را در بر می‌گیرد که بخش اساسی گدازه‌های آن ترکیب ریوداستی- داسیتی و تراکی آندزیتی دارد که همراه با دایک‌های ریوداستی- کوارتز لایتی، تراکی آندزیتی و بازلاتی (با فراوانی کمتر) به رنگ همگانی خاکستری روند تقریبی خاوری- باختری در کنار سنگ‌آهک‌های پلاژیک کرم مایل به صورتی و چرت‌های رادیولردار سرخ دیده می‌شوند (شکل ۵). بررسی‌های دیرینه‌شناختی انجام شده بر روی این سنگ‌آهک‌ها به شرح زیر نشانگر کامپانین پسین- ماستریشین پیشین برای آنها است (Allahmadadi et al., 2005). *Globotruncana stuarti*, *G. gansseri*, *G. lapparenti*, *G. falsostuarti*, *G. arca*, *G. mayaroensis*, *G. ventricosa*, *G. stuartiformis*, *G. calcarata*, *G. lapparenti*, *G. sp.*, *Rugoglobigerina rugosa*, *Hedbergella* sp., *Heterohelix* sp., Radiolaria, Spicules, Algal frag.

مجموعه سنگ‌های کرتاسه و پیش از آن در این منطقه توسط رخساره‌های سنگی پالتوسن در چهره کنگلومرای سرخ تا قهوه‌ای با سن پالتوسن پیشین (Salamati, 2000) به شرح زیر پوشیده شده است.

Reophax sp., *Globorotalia* sp., *Globigerina* sp., *Mississippina* sp., *Distichoplax biserialis*, *Cymopolia* sp., Coral, *Ethelia alba*.

با این حال گاهی سنگ‌آهک‌های خاکستری روشن مایل به سبز پالتوسن پسین نیز به گونه نایپوسته و در ظاهر هم شبیه مجموعه‌های (Allahmadadi et al., 2005) سنگ چینه‌ای کهنه‌تر از خود را پوشانیده‌اند (Kohansal et al., 2008) که به شرح *Micellanea* sp., *Lockhartia* sp., *Discocyclina* sp., *Saudia* sp., *Gyroidina* sp., *Cibicides* sp., *Valvulina* sp., *Miliolids*, *Textularids*, *Rotalids*, *Globorotalia compressea*, *G. uncinata*, *G. wilcoxensis*, *G. esnaensis*, *G. sp.*, *Globigerinids*, *Disticolaplex* sp., *Cymopolia* sp., *Planorbolina* sp., *Ethelia alba* sp., *Planorbolina* sp., *Tergumella* sp., *Halimeda* sp., *Lithophyllum* sp., cf. *Nipponophycus* sp., *Dasycladacea*, *Ostracoda*, *Microgastropoda*, Algal frag, shell's frag, Coral, Bryozoa.

۴- ژئوشیمی

برای انجام مطالعات ژئوشیمیایی از نتیجه‌های تجزیه شیمیایی سنگ‌ها که با نرم‌افزار به صورت نمودار درآمده‌اند استفاده شده است.

فرود و (1999) Shojaat بر روی کاربرد مدل‌های ژئوشیمیایی برای تعیین محیط زمین‌شناختی و پتانسیل نهشته‌های معدنی در افیولیت سبزوار پرداخته‌اند. Kolivand (2001) به تحلیل کینماتیکی ناحیه خارتوران و Ghaffari-Nike به بررسی تاریخچه دگریختن سنگ‌های رسویی کرتاسه پایین منطقه احمدآباد پرداخته‌اند. Shojaat (2003) سنگ‌شناختی، ژئوشیمی و زمین‌ساخت افیولیت سبزوار را مطالعه کرده است.

بررسی‌های زمین‌شناختی در نواحی شمالی بین درونه تا کاشمر Eftekhar-Nezhad et al. (1976) نشانگر بخش‌هایی از یک پیکره افیولیتی در چهره بخش‌های نفوذی و خروجی آنها است، که گاه بر اثر نیروهای فشارشی و درهم ریختگی‌های زمین‌ساختی به چهره یک آمیزه رنگین جلوه گر شده است. بخش‌های بالایی این توالی از سنگ‌های خروجی تشکیل شده که برای اوین بار در منطقه مری- اسیکشان مورد پژوهش قرار گرفته است. نظر به اهمیت شناخت و جداسازی بخش‌های گوناگون یک توالي افیولیتی (سن این توالي) سن پیدایش و بسته شدن این بخش از ناوه، و سرانجام تعیین شناسنامه زمین‌ساختی این نواحی به عنوان بخشی از تقایق پوسته اقیانوس تیسیس جوان در پیرامون خرد قاره ایران مرکزی یادآور لزوم این پژوهش است.

۲- روش مطالعه

مطالعه سنگ‌های آتشفسانی ژوراسیک میانی تا کرتاسه بالایی بخشی از هدف این نوشته است تا بتوان سرگذشت آتشفسانی این ناحیه را به تصویر کشید. حدود ۵۰ نمونه برای تهیه برش‌های میکروسکوپی، به گونه منظم از واحدهای زمین‌شناختی یاد شده برداشت شد. بر روی ۱۶ نمونه تجزیه شیمیایی XRF در آزمایشگاه سازمان زمین‌شناختی و اکتشافات معدنی کشور انجام شد. سه شکل صحرایی نیز بیانگر استفاده از نرم‌افزارهای Minpet 2.02، GCDkit 2.3 و Newpet رسم و مورد ارزیابی قرار گرفت. در ضمن حدود ۵۰ نمونه سنگ رسویی نیز برداشت شد که از نتایج آنها در دیرینه‌شناختی محیط رسویی همزمان و پس از آتشفسانی استفاده شده است.

۳- چینه‌نگاری و سنگ‌نگاری

با بررسی مجموعه آتشفسانی- رسویی کرتاسه بالایی- پالتوسن Baroz et al. (1983) در بین جاده سبزوار- درونه و سبزوار- سلطان‌آباد این سنگ‌ها را به ۴ مجموعه سنگی تقسیم کرده‌اند که از کهن به جوان در برگیرنده مجموعه‌های علیک (Alavi Tehrani, 1976)، سنگ سفید، سلیمانیه و رود سراب است. مقایسه بین این مجموعه‌ها و مجموعه سنگ‌های مورد بررسی در منطقه مری نشانگر شباهت آنها با مجموعه‌های علیک و سلیمانیه است. بدیهی است کامل نبودن این توالی نشانگر گسلش و یا نبود آنها در منطقه مورد بررسی است.

بر اساس بررسی‌های انجام شده توسط Kohansal et al. (2008) (شکل ۲) کهن‌ترین واحد سنگی منطقه مورد مطالعه مربوط به ژوراسیک میانی است. پیدایش گدازه‌های ریولیتی- ریوداستی سرخ رنگ همراه با سنگ‌آهک‌های زیستی- آواری اسپارایتی در این گامه نمایان شده است (شکل ۳). ترکیب سنگواره‌ای در سنگ‌آهک‌ها به شرح زیر بیانگر ژوراسیک میانی، دوگر، (Allahmadadi et al., 2005) است.

Carophita sp., *Cyanophicea*, shell's frag, Algal frag.

در کرتاسه پایین ناحیه مری، نخستین گدازه‌های بازلاتی و آندزی بازالتی رنگ نمادین سیاه تا سبز تیره پدیدار شده‌اند (Kohansal et al., 2008). رخمنون این سنگ‌ها در بین بخش‌های پایین سنگ‌آهک‌های سیلتی و سنگ‌آهک‌های زیستی اسپارایتی و میکراتی خاکستری مایل به قهوه‌ای روشن دیده می‌شود

تفريق در روند تبلور بخشی گاه يانگر پراکندگی به دليل اكسایش آهن و منگتر یا آلدگی است. نمودارهای تغييرات عناصر اصلی نسبت به سيليس يانگر عملکرد کارساز تبلور بخشی ماگماهای مادر در تكوين سنگهای مورد مطالعه است. به نظر می‌رسد که ماگما در حین صعود به سطح زمین دچار تفريقي و جدایش برخی عناصر و تجمعي و افزایش برخی دیگر شده است. با اين وجود در نمودارهای عناصر قليابي پراکندگی دیده می‌شود که شايد در ارتباط با آلدگی و آليش ماگما با پوسته بالاي خاستگاه عناصر قليابي باشد. اكسایش متفاوت نمونه‌ها در نمودارهای اكسید آهن و منگتر و کم تحرکي در نمودار آلومينيم در برابر سيليس دیده می‌شود.

نمودارهای تغييرات عناصر كمياپ نسبت به سيليس به شرح زير است:

- عناصر كمياپ (LFS) - اين عناصر متخرک هستند و در طي فرایند تفريقي ماگمايي به گونه ناساز گار رفتار می‌کنند. بنابراین از سنگهای بازيك به سوي ميانه و اسيدي روند افزایشي نشان می‌دهند. با اين وجود در نمودارهای تغييرات آنها (شکل ۹) پراکندگی و تا حدودي افزایش ميزان اين عناصر دیده می‌شود. افزایش Rb در نمونه‌های اسيدي مربوط به تمرکز مذاب غني از سيليس و فلدسپار، افزایش Sr در نمونه‌های ميانه ناشي از تمرکز و جدایش پلاژوي كلازالهای غني از كلسيم و افزایش Ba در نمونه‌های اسيدي و برخی نمونه‌های ميانه به احتمال بر اثر متاسوماتيسم قليابي است. به طور کلي پراکندگی نمونه‌ها را باليستي به فرایندهای چون آلدگي پوسته‌اي، ناهمگي منشأ، دگرساني متفاوت، متاسوماتيسم و انتقال گازی عناصر نسبت داد.

- عناصر كمياپ (HFS) - در روند تفريقي ماگمايي رفتار اين عناصر به گونه‌اي است که در ماگماهای حاصل از گوشته از اندازه عناصر كمياپ سبک کم شده و در انواع حدواسط و اسيدي افزایش می‌باشد. به عبارت دیگر در سنگهای پوسته قاره‌اي غني شدگي از اين عناصر و در سنگهای حاصل از ماگماهای گوشته تهي شدگي از آنها دیده می‌شود. بر خلاف انتظار اندازه Y, Th, Zr در نمونه‌های بازيك همسان با انواع ميانه و اسيدي است و اندازه Ta و Nb در نمونه‌های ميانه و اسيدي مشابه است. با اين حال در نمودارهای تغييرات عناصر ياد شده (شکل ۱۰-الف) نمونه‌ها پراکندگی دارند و روند مشخصي نشان نمي‌دهند. همان‌طوری که مي‌دانيم پوسته بالاي ترکيب گرانيت‌ييدي دارد و عناصر ياد شده نقش فعالی در ساختمان آن دارند. فرایند آغشتيگي ماگماي گوشته‌اي با پوسته که در حين بالا آمدن به سطح زمین حاصل مي‌شود، موجب بهره‌مندي متفاوت نمونه‌ها از اين عناصر و در نتيجه پراکندگي آتها مي‌شود. غني شدگي انواع ميانه و اسيدي از اين عناصر، اندازه زير Sc و Zr در سنگهای بازيك و پراکندگي نمونه‌ها در نمودارهای تغييرات نشان مي‌دهد که تنها فرایند تفريقي در تشکيل سنگهای ميانه و اسيدي مؤثر نبوده و عواملی چون ناهمگي منشأ، پوسته و گوشته، و آلدگي با پوسته قاره‌اي نقش مهمی در پيدايش آنها داشته است.

- عناصر كمياپ کم تحرک (REE) - در اين عناصر نيز باليستي رابطه کلي غني شدگي در سنگهای پوسته‌اي و تهي شدگي در سنگهای حاصل از تفريقي ماگماهای گوشته‌اي دیده شود. در نمودارهای تغييرات اين عناصر (شکل ۱۰-ب) با وجود پراکندگي نمونه‌ها برخی ويزگي ها دیده مي‌شود، به عنوان مثال در نمودارهای Ce و Yb, La, Sm, Eu, La اندازه اين عناصر در دو دسته سنگهای اسيدي و ميانه از فراوانی مشابهی برخوردار است و نيز در نمودارهای Tb و Eu اندازه عناصر ياد شده در نمونه‌های بازيك با انواع ميانه و اسيدي همسان است. با وجود اين شواهد، در تشکيل سنگهای ميانه و اسيدي، دو فرایند تفريقي ماگماي بازيك و آلدگي ماگماي مادر با پوسته قاره‌اي نقش مهمی داشته است.

۳-۴. نمودارهای عنکبوتی

در اين نمودارها، نمونه‌های منطقه موربد بررسی با گوشته اولیه بهنجار شده‌اند (شکل ۱۱). غني شدگي شدید در عناصر ناساز گارتر (سمت چپ نمودار) با کاهش شدید

۴-۱. رده‌بندی و سري ماگماي

در اين بخش از نمودارهای نام‌گذاري (1986) Le Bas et al. و Winchester and Floyed (1977) استفاده شده است (شکل ۶). همچين براي شناسابي AFM و تعين سري ماگماي اين سنگها از نمودارهای دوتايی TAS و سه‌تايی AFM (Irvine and Baragar, 1971) بهره برده‌اند (شکل ۷). بر اين اساس، محدوده ترکيب اين نمونه‌ها در سنگهای اسيدي ژوراسيک ميانی از نوع داسیت، ريدو داسیت- داسیت گاه ريو ليت و سري ماگماي آنها كلسیمي- قليابي است. سنگهای بازيك كرتase پايان در قلمرو بازالت و آندزی بازالت، و سري ماگماي آنها قليابي است. در نمونه‌های كرتase بالايی ترکيب دايكها و گذازهای اسيدي در محدوده داسیت، ريدو داسیت- داسیت گاه ريو ليت، ترکيب دايكها و گذازهای ميانه در قلمرو تراكي آندزیت گاه آندزیت و ترکيب دايكها بازيك از نوع بازالت گاه آندزی بازالت است. سري ماگماي نمونه‌های كرتase بالايی كلسیمي- قليابي است (براساس شواهد سنگ‌نگاری جايگيری چند نمونه در موز سنگ‌های هاوليتي و كلسیمي- قليابي به دليل اكسایش بيشتر آهن در آنها است).

۴-۲. نمودارهای تغييرات هارکر

همانطور که مي‌دانيم در حالتی مي‌توان از نمودارهای تغييرات يا نمودارهای هارکر بهره جست که منشأ ماگماي سازنده سنگهای موربد بررسی يكسان فرض شود. در ناحие موربد مطالعه چنین فرضی درباره سنگهای آتشفسانی كرتase بالايی وجود دارد (با دارا بودن انواع بازيك تا اسيدي) اما به دليل آن که در ژوراسيک ميانی و كرتase پايان به ترتيب نمونه‌های اسيدي و بازيك رخمنون دارند پژوهش در خصوص روند تفريقي ماگماي در آنها امکان‌پذير نیست. با اين حال از آنجا که در كرتase پايان و حتی پيش از آن در منطقه مری (خارتوران) رژيم زمين ساختنی كششی حاكم بوده (Kolivand and Ghaffari-Nike, 2001) و با اين فرض که مخازن ماگمايی تشکيل شده در حوضه کششی موربد بحث از ژوراسيک ميانی تشکيل و پس از كرتase پايان در كرتase بالايی به اوج خود رسیده است، بنابراین از نمونه‌های آتشفسانی ژوراسيک ميانی و كرتase پايانی همراه با نمونه‌های كرتase بالايی در نمودارهای تغييرات هارکر استفاده شده است. بدبهی است در اين خصوص از بحث تفريقي ماگمايی به گونه‌اي اساسی برای آتشفسانی كرتase بالايی سود برد شده و استفاده از نمونه‌های پيش از آن تنها برای مقایسه است. هر چند که چنین مقایسه‌اي تنها با بررسی های دقیق نسبت‌های ايزوتوبی عناصر كمياپ و تعين محیط تشکيل اين مخازن امکان‌پذير است ولی به نظر (Moine-Vaziri 2004) چنین فرضی برای بزمان و البرز پس از آتشفسانی اثوسن، ماگماهای منجمد نشده و کم و بيش تفريقي یافته مخازن ژرف آتشفسانه‌اي اثوسن توسيط نيروهای کوهزاری پيرزنين (اوسن-اليکوسن) و استرين (ميوسن ميانی) بالا آورده شده و به افق‌های کم فشار و سست تزریق شده است. اين ماگماها با سنگ‌های آتشفسانی اثوسن نزديکی و راثی دارند که خود دليلی بر مخازن مشترک ماگماي در آنها است.

نمودارهای تغييرات اكسيدهای عناصر اصلی نسبت به سيليس (شکل ۸) به شرح زير است: اندازه تغييرات اكسيدهای اصلی در برابر سيليس در نمودارهای هارکر تنها به تبلور بخشی وابسته نیست، اگرچه اين عامل، يكی از عوامل مهم است. افزایش سريع عناصر قليابي سديم و پاتاسيم در سراسر تغييرات سيليسیم حاکم از عوامل دیگر مانند آغشتيگي پوسته‌اي و غني شدگي ماگما از قليابي‌ها به دليل انتقال گازی و مانند آن است. روند نزولي در اكسيدهای كلسیم، منیزیم، آهن و فسفر دیده مي‌شود اما در نمودار اكسيد منگنز روند نامنظم و پراکنده است. کاهش اكسيد تیتانیم حاصل کم بودن کانی‌های كدر است. تحرک کم آلومینیم مانع گسترش زياد تغييرات آن است و در هنگام دگرسانی اندازه آن ثابت مي‌ماند. نمودارهای اكسيد- سيليس ضمن

شده، محصولات نهایی تبلور بخشی مانگما و یا آلدودگی مانگما اولیه با پوسته است.

۴-۴. نمودارهای تعیین جایگاه زمین ساختی

در این قسمت با استفاده از نمودارهای دوتایی و سه تایی عناصر کمیاب، جایگاه زمین ساختی سنگهای بازیک، میانه و اسیدی بررسی شد. در نمودارهای دوتایی Pearce et al., 1984 (Pearce et al., 1984) (Y-Nb و Nb + Rb) در محدوده VAG + Syn-COLG و CAB (شکل ۱۲) با این حال، نمونه های یاد شده همراه با نمونه های بازیک کرتاسه بالای در نمودارهای سه تایی Pearce and Cann, 1973 (Zr - Ti/100-Y*3)، Pearce and Cann, 1973 (Zr - Ti/100-Y/2) و Pearce and Cann, 1973 (Zr - Ti/100-Y/2) در محدوده CAB (Mullen, 1983) (Tio₂-MnO*10-P2O5*10) (شکل های ۱۳ و ۱۴). همان گونه که در این نمودارها نیز دیده می شود، همگام با روند کاهشی Ti در نمونه های اندازه Zr افزایش می یابد. نمونه های بازیک کرتاسه پایین در نمودار دوتایی Pearce and Norry, 1979 (Zr/Y - Zr) در قلمرو WPT (Pearce and Norry, 1979) جای دارد (شکل ۱۵).

۵- بررسی مراحل گوناگون کوهزایی

در شمال مری، ژوراسیک میانی در چهره سنگ های آتشفسانی و رسوبی است که به نظر می رسد در نتیجه تأثیر نیروی کششی پس از فاز فشارشی سیمرین میانی بر منطقه باشد (Kohansal et al., 2008). زیرا در شمال خاور درونه ناپیوستگی بین ماسه سنگ های ژوراسیک (معادل با سازند شمشک) با کنگلومرا ایه کرتاسه (ثوکومین در ناحیه درونه) می تواند مربوط به فاز کوهزایی سیمرین میانی و تأثیر فراسایشی پس از چین خوردگی و ناپیوستگی بین کنگلومرا ایه کرتاسه با سازند شمشک در منطقه درونه- کاشمر باشد (Eftekhari-Nezhad et al., 1976).

با این وجود، در شمال- شمال خاور درونه و در کوه شاداب واحده های ماسه سنگی Vahdati-Danesmand and Nadim (1999) در منطقه دارین واقع در شمال- شمال باختر درونه این ردیف دیرینه هوتروپین- بارمین پیشین دارند) با سنگ های ژوراسیک بالا ارتباطی گسلی دارند (Ghaemi and Moussavi-Harami, 2007)، به احتمال گسل خوردگی در مرز بین سازند های ژوراسیک و کرتاسه به تشکیل آنها در این فاز کوهزایی و به احتمال جنبش دوباره آنها در فاز های بعدی مربوط می شود.

در شمال باختر ناحیه خارتوران، منطقه دره دای (Ghasemi & Hajihosaini, 2005) افقی از کنگلومرا در زیر سنگ های ژوراسیک میانی گزارش کرده اند که با دگر شیبی بر روی واحده های کهن تر جای گرفته است. از طرفی، به گزارش Navai et al. (1987) در همین ناحیه ژوراسیک میانی دارای متنا آندازیت، متابالزات و متابالکلومرا است که به نظر می رسد اثرات ماسه مازایی، دگر گونی و ناپیوستگی مربوط به فاز سیمرین میانی بر این نواحی باشد. با این حال، سنگ های آتشفسانی ژوراسیک میانی در منطقه مری کمی تفرق یافته تر هستند. از آنجا که رخساره های رسوبی ژوراسیک میانی و کرتاسه پایین در این نواحی هیچ گونه پیوستگی رسوبگذاری نشان نمی دهند، به نظر می رسد سیمرین پسین به عنوان یک فاز خشکی زایی (Aghanabati, 2005) در این ناحیه خارتوران محدود است به گونه ای که در شمال باختر آن (منطقه دره دای) بین سنگ های ژوراسیک بالایی و کرتاسه پایینی پیوستگی رسوبگذاری گزارش شده است.

از آن جا که آشکوب های بریازین و الائزین در منطقه دارین دیده نمی شود، و از طرفی در منطقه مری آپسین پس از دو گر دیده شده است، بنابراین به نظر می رسد که دست کم سازو کار فاز کوهزایی سیمرین پسین در ثوکومین این مناطق و پیش از بارمین موجب حذف و یا نبود رسوبگذاری این آشکوب ها شده است. این موضوع

به سمت افزایش سازگاری همراه است. مقایسه فراوانی خاک های کمیاب سبک و سنگین نمونه های مورد مطالعه نشان می دهد که عناصر سبک تا بیش از صد برابر گوشه اولیه غنی شدگی دارند ولی اندازه این غنی شدگی در انواع سنگین به حدی کم است که شبیه منفی به نمودار داده است. به طور کلی عناصر کمیاب خاکی سبک طی ذوب گوشه به صورت ناسازگار عمل می کند و در ماسه های ناشی از گوشه تهی شده اند. ولی در موقعیت میان غنی شدگی این صفحه ای به شدت نسبت به عناصر سازگارتر غنی شوند. بنابراین در پوسته قاره ای بالایی به شدت غنی شده اند ولی در پوسته قاره ای ژرف به موجب ماهیت مافیک تر و افت انتخابی برخی از عناصر سنگی دوست (لیتو فیل) با شعاع یونی بزرگ، طی دگرگونی در جهه های بالاتر، غلظت کمتری می یابند. در مجموع خاک های کمیاب سبک نسبت به خاک های کمیاب سنگین، غنی شدگی نشان می دهد که حاصل یکی از عوامل زیر است: ۱- ذوب بخشی کم مواد گوشه ای، ۲- ذوب محدود گوشه غنی شده و ۳- محصول فرایند نهایی تبلور بخشی. با این شرایط چنین انتظار می رود که سنگ های بازیک از عناصر سنگین و سنگ های اسیدی از عناصر سبک غنی شدگی نشان داده، و سنگ های حدواتسط حالتی بینایین (بر اساس نمودارهای هارکر) داشته باشند. با این حال در برخی از سنگ های میانه و اسیدی منطقه غنی شدگی بیشتری از این عناصر دیده می شود، برای مثال غنی شدگی از عناصر Tb, La و Ce که مربوط به فراوانی کانی های آپاتیت و اسفن در این سنگ ها است. در مقابل، در سنگ های بازیک فراوانی برخی عناصر کمیاب مانند Sm, Ce, Nd, La کمتر و یا در برخی مواد غنی شدگی عناصری چون Eu و Tb, Th, Y, Ta, Zr همسان با نمونه های میانه و اسیدی است، که مربوط به آغشتگی آنها با پوسته قاره ای بالایی است. از این مختصراً چنین بر می آید که از یک سو سنگ های میانه و اسیدی به اندازه فراوان و سنگ های بازیک تا حدود ناچیزی از عناصر کمیاب پوسته قاره ای بالایی بهره برده اند، و از سوی دیگر برخلاف انتظار غنی شدگی از عناصر کمیاب سنگین در سنگ های بازیک ناچیز است، که شاید نشانگر تهی شدگی منشأ آنها باشد. از آنجا که پیش از این بررسی های ژئوشیمیابی (Kohansal et al., 2006) انجام شده بر روی بازالت های کرتاسه پایین نشانگر فرایند تفریق و غنی شدگی آنها از عناصر کمیاب سبک است آلدگی آنها با پوسته قاره ای بالایی قطعی است. از طرفی بیشتر بازالت های کرتاسه بالای در چهره دایک هستند و زمان زیادی جهت آلایش با پوسته را نداشته اند، بنابراین ضمن تأیید ماهیت گوشه تهی شده برای این بازالت ها از عناصر کمیاب سنگین، به نظر می رسد در تشکیل سنگ های میانه و اسیدی منطقه افزون بر فرایند تفریق یک ماسه های بازالتی تهی شده، آلایش و آغشتگی ماسه های میانه و اسیدی منطقه افزون بر فرایند تفریق یک اهمیت بالایی برخوردار بوده است. با این حال مقادیر بالایی Rb و Th نسبت به Nb نشانگر ویژگی پوسته ای آنها است، با این وجود افت شدید اندازه باریم در یکی از نمونه های بد گرسانی پلازیو کلازها مربوط است. بی هنجاری منفی Nb نسبت به Th و Ce برای سنگ های میانه و اسیدی منطقه وجود دارد. از نظر سنگ شناسی بی هنجاری منفی Nb از ویژگی های ماسه های کمان آتشفسانی است و بر اثر تفریق Nb نسبت به Th و Ce در آمفیبول، تیتانیت و روتیل در حین آبگیری و یا ذوب بخشی صفحه فرو رانده ایجاد می شود (Pearce and Peate, 1995; Pearce, 1996) (Pearce and Peate, 1995; Pearce, 1996). ارتباط سنگ شناختی بین سنگ های بازیک، میانه و اسیدی منطقه با بی هنجاری منفی Ti توجیه می شود. رفتار منفی Ti به تحرک پذیری آن (در چهره کانی های تیتانیم دار) مربوط است که همگام با روند غنی شدگی Zr در ماسه های شدگی آن از فراهم می شود (Pearce, 1996) در Shojaat, 2003. در مجموع، شب منفی از LFS به سوی HFS نشانگر ذوب بخشی کم در محصولات نهایی تبلور بخشی ماسه های گوشه ای تهی شده و آلدودگی ماسه های اولیه با پوسته است که به افزایش باریم همراه با پتاسیم و رویدیدم منجر شده است. به عبارت دیگر، این شب منفی ناشی از پدیده هایی همچون ذوب بخشی کم مواد گوشه ای تهی

هرماه بوده است (Aghanabati, 2005)، نشانگر اثر فاز فشارشی دیگری در این زمان و با روند شمال باخترا-جنوب خاور است که موجب بسته شدن حوضه رسوی با همان روند پیشین شده است. سازندهای مورد بررسی در این زمانها با همان روند سنگهای کرتاسه چین خورده و در موادی سنگ چینهای کرتاسه بر روی پالتوسن رانده شده‌اند. کوتاه‌شدگی مربوط به این فاز به وسیله چین خورده‌گی و گسلش جبران شده است که مطالعات (Lineberg et al., 1983) نیز آن را نشان می‌دهد (Kolivand, 2001). بسته و محصور شدن حوضه آتشفشاری-رسوی کرتاسه بالایی در منطقه مری با گسل‌های فشاری از جنبش زود هنگام فاز کوه‌زایی لارامید پس از ماستریشین خبر می‌دهد به گونه‌ای که سنگ‌های کرتاسه بالا بر روی کنگلومراپی پیشونده پالتوسن پایین جای گرفته‌اند. با این حال شواهدی از منطقه دارین در دست است که از حیات حوضه رسوی کرتاسه بالا تا پالتوسن بالا و ائوسن خبر می‌دهد. از آن شمار بررسی رخسارهای رسوی کرتاسه بالا-پالتوسن پایین و پالتوسن پایین-ائوسن پایین تا میانی (در منطقه دارین) نشانگر آن است که حوضه رسوی کرتاسه بالا در فاز لارامید به کلی بسته نشده و با وجود تأثیر این فاز بخش‌هایی از حوضه به حیات رسوی خود تا پالتوسن و ائوسن ادامه داده است. همچنین در این منطقه پیدایش افق‌هایی از سنگ‌های آتشفشاری در بین سنگ‌های رسوی پالتوسن نشانگر اثرات کششی فاز لارامید در زمان پالتوسن و پس از آن تا تشکیل حوضه رسوی ائوسن است.

۶- نتیجه‌گیری

منطقه مری-اسپکشان بخشی از زیر پهنه درونه-کاشمر است و نشانگر بالاترین بخش از آمیزه‌های رنگین این پهنه در ناحیه حفاظت شده خارتوران است. رخسارهای سنگ چینهای ژوراسیک میانی، کرتاسه پایین و بالایی پالتوسن در این ناحیه گسترش دارند. سنگ‌های آتشفشاری ژوراسیک میانی با دیرینه دوگر، از گدازه‌های اسیدی با ترکیب ریولیتی-ریوداستی، کرتاسه پایین با دیرینه آپسین-آلین، از گدازه‌های بازیک با ترکیب بازالتی و کرتاسه بالایی با دیرینه کامپانین-ماستریشین، از گدازه‌ها و دایک‌های اسیدی با ترکیب ریوداستی-داسیتی، گدازه‌ها و دایک‌های میانه با ترکیب تراکی آندزیتی، و دایک‌های بازیک با ترکیب بازالتی تشکیل شده است.

ناحیه مری فاقد بخش‌های نفوذی مربوط به یک پیکره افیولیتی بالغ است و در بخش‌های خروجی نیز تنها می‌توان سنگ‌های آتشفشاری و رسوی نواحی بالای این پیکره را دید. مقایسه سنگ‌های آتشفشاری و رسوی کرتاسه بالایی با سنگ‌هایی مربوط به این زمان که پیش از این در این منطقه بررسی شده‌اند بیانگر همسانی نزدیک آنها با مجموعه‌های علیک و سلیمانیه است.

سری ماگمایی سنگ‌های ژوراسیک میانی و کرتاسه بالایی از نوع کلسیمی-قلایی و سری ماگمایی سنگ‌های کرتاسه پایین از نوع قلایی است. با اینکه تغییرات برخی از اسیدهای عناصر اصلی و همچنین عناصر کمیاب نسبت به سیلیس در نمودارهای هارکر نشانگر فرایند تغیریق ماگمایی هستند، با این وجود نمی‌توان اثر کارساز آغشتگی ماگمایی را با پوسته قاره‌ای بالایی از نظر دور داشت. مقایسه نمونه‌های منطقه مورد بررسی با گوشته اولیه بهنجار شده، در نمودارهای عنکبوتی نشانگر غنی شدگی عناصر کمیاب سبک این نمونه‌ها است. با این حال سیر غنی شدگی در نمونه‌های بازیک به مراتب کمتر از نمونه‌های میانه و اسیدی است. از طرفی انداره غنی شدگی عناصر کمیاب سنگین در نمونه‌های بازیک نیز افزایش چندانی از این عناصر را نشان نمی‌دهد که شاید مربوط به تهی شدگی گوشته از این عناصر باشد. بنابراین به نظر می‌رسد در فرایند تحول ماگمایی بازیک به انواع میانه و اسیدی با وجود نقش انکاراپذیر تغیریق بایستی از آلایش کارساز ماگمایی سازنده سنگ‌ها با پوسته قاره‌ای بالایی اشاره کرد.

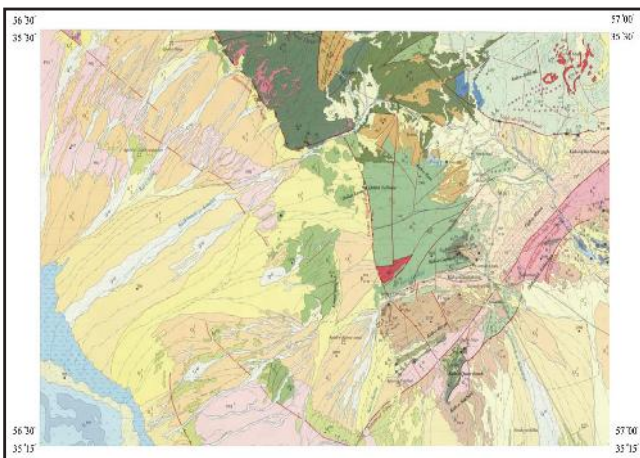
ناشی از حرکات خشکی زای فاز سیمیرین پسین است که پیش از بارمین آشکوب‌هایی از کرتاسه پایین را حذف کرده است (Aghanabati, 2005). Kolivand (2001) در حال کشش و دربردارنده ساختارهای فرابوم (Horst) و فربوبوم (Graben) متعددی بوده است. باسازو کار این ساختارها حوضه‌هایی با زرفاها متفاوت ایجاد شده است، به گونه‌ای که در بخش‌های ژرف تر رسوبات سنگ‌آهکی-شیلی و توربیدایت‌ها، و در نواحی کم ژرفتر نهشته‌های سنگ‌آهکی اربیتلین دار تشکیل شده‌اند. این موضوع با نتایج مغناطیس دیرین ارائه شده توسط (Soffel and Shmit, 1983) همانگی دارد چرا که ایشان نیز در همین زمان به یک فاز کششی در ایران مرکزی اعتقاد دارند. بررسی‌های چینه‌شناسی در منطقه مری بر روی رخسارهای سنگی مابین آشکوب‌های آپسین-آلین و سونمانین-سانتوین نشانگر نازارمی‌های زمین ساختی در این زمان است که با فاز کوه‌زایی اتریشین جلوه گر شده است. پیدایش گدازه‌های بازالتی قلایی همراه با دایک‌های بازالتی در بین سنگ‌آهک‌های آپسین-آلین نشانگر جنبش‌های زود هنگام این فاز در منطقه خارتوران است.

در منطقه دارین نیز گدازه‌های آندزیتی و کراتوفیر-اسپیلیتی در بین سنگ‌های کرتاسه پایین گزارش شده است که نسبت به سنگ‌های مری کمی تغیریق یافته تر هستند. بررسی‌های زمین ساختی در منطقه خارتوران نشان می‌دهد که در اوخر کرتاسه؟ بر اثر همگرایی و مهاجرت رو به شمال خرد گدازه‌گی واحدی‌های کرتاسه در روند شمال خاور-شدن نموده است که باعث چین خودرگی واحدی‌های کرتاسه در روند شمال خاور-جنوب باخترا-شده است. این فاز فشارشی در جهت شمال باخترا-جنوب خاور اعمال شده و تنها در سنگ‌های زیر سطح نایپوستگی پالتوسن مؤثر بوده است که مطالعات (Lineberg et al., 1983) نیز آن را نشان می‌دهد. با توجه به روند مشخص شمال خاور-جنوب باخترا کنگلومراپی پالتوسن و فاصله‌های منظم آن به احتمال تشکیل آن به شکل حوضه‌های پشت خوکی (Piggy back Basin) در یک حوضه انقباضی (Contractional Basin) بوده است (Kolivand, 2001). بر این اساس در منطقه مری تزربیق دایک‌های دیابازی با روند شمال باخترا-جنوب خاور در سنگ‌های کرتاسه پایین ناشی از تأثیر همین فاز است. در منطقه مری پیامد فاز کوه‌زایی اتریشین در سونمانین-سانتوین منجر به گسترش حوضه رسوی این زمان شده که رسویگذاری مقادیر متابه‌های مارن دریابی پیامد آن است. به دنبال آن در کامپاتین این حوضه قاره‌ای به کافی اقیانوسی تبدیل شده است. با این حال در منطقه مری و دارین دیرینه سنگ‌آهک‌های پلازیک همراه با سنگ‌های آتشفشاری کامپانین پسین-ماستریشین پیشین است که گسترش حوضه کافی در این منطقه به اوج خود رسیده است، ولی در منطقه مری و دارین اثری از رخنمون بخش‌های نفوذی و خروجی توالی افیولیتی دیده نمی‌شود و تنها بخش‌های موسم به سوپرا افیولیتی (مجموعه‌های سنگی علیک و سلیمانیه) آشکار شده‌اند. با این وجود در جنوب باخترا کال سبز (جنوب کوه قوچو) واقع در جنوب خاور مری در پهنه‌های گسلی و در بین سنگ‌های ائوسن وجود رخنمون‌های کوچکی از سرپانتینیت و از سوی دیگر یافت شدن بیگانه سنگ‌های دونیتی در برخی از برونزدهای سنگ‌های نفوذی منطقه مری نشانگر وجود یک سنگ افیولیتی در زیر نهشته‌های ائوسن در این منطقه است. از سوی دیگر در نواحی شمالی بین درونه تا کاشمر (جنوب خاور منطقه مری) انبوی از سنگ‌های بخش‌های گوناگون پیکره افیولیتی دیده می‌شود (Ghaemi and Moussavi-Harami, 2007). که در بین گسل‌های فشاری، در هم فرورفته و محصور شده است. مطالعه دیرینه‌شناسی بر روی سنگ‌آهک‌های پلازیک بخش‌های بالایی این مجموعه نیز نشانگر کامپانین-ماستریشین برای آنها است. بررسی‌های زمین ساختی منطقه مری در پالتوسن و ائوسن، در این نوشان مورد نظر نیست اما به دنبال فاز فشارشی لارامید تأثیرات آن در برخی از بخش‌های بالایی پالتوسن و سپس تمام ائوسن به گونه کششی ادامه داشته که با ایجاد یا جنبش دوباره گسل‌ها

پلازیک کامپانین- ماستریشنین پوشیده شده‌اند. وجود انبوهی از سنگ‌های آتشفشاری با جایگاه کمان آتشفشاری و همزمان با برخوردی در کنار سنگ‌آمک‌ها نمایانگر بالاترین بخش از توالی افولیتی زیر پهنه درونه- کاشمر است که در ناحیه مری دیده می‌شود. با ادامه جنبش‌های لارامید به گونه کامل حوضه رسوی- آتشفشاری کامپانین- ماستریشنین بسته شده و این سنگ‌های بر سنگ‌های پالوسن رانده شده‌اند که پیامد آن تشکیل سنگ‌های آمیزه رنگین این ناحیه از زیر پهنه درونه- کاشمر است.

سپاسگزاری

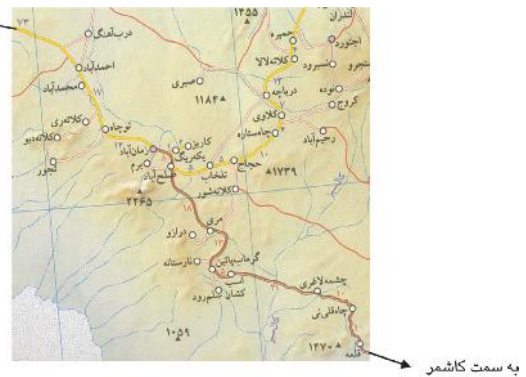
در ابتدا بر خود لازم می‌دانیم که از تمام پیشکسوتان و پژوهشگران علم زمین‌شناسی که در راه شناخت هر چه بیشتر ایران بزرگ رنج فراوان کشیده‌اند، و زمین‌شناسی فکر کردن را به ما آموختند سپاسگزاری نماییم. پس از آن بایستی از اندیشه‌های بلند آقای دکتر محمد رضا قاسمی به نیکی یاد کرد که بستر لازم برای ارائه چنین یافته‌هایی را فراهم کردند.



شکل ۲- بخشی از نقشه زمین‌شناسی ۱:۱۰۰۰۰۰ مری و منطقه مورد بررسی.

بررسی نمودارهای دوتایی و سه‌تایی عناصر کمیاب خاکی نشانگر جایگاه زمین‌ساختی همزمان با برخورد و کمان آتشفشاری برای سنگ‌های ژوراسیک میانی و کرتاسه بالایی است. همچنین در این نمودارها سنگ‌های بازیک کرتاسه پایین

جایگاه درون صفحه‌ای از خود نشان می‌دهند. بررسی‌های سنگ‌چینه‌ای، آتشفشاری و زمین‌ساختی در ژوراسیک میانی بیانگر وجود فاز کششی به دنبال جنبش‌های زمین‌ساختی فاز سیمیرین میانی است. حوضه مورد نظر بر اثر جنبش‌های فاز سیمیرین پسین بسته شده و سنگ‌های اسیدی ژوراسیک میانی با جایگاه کمان آتشفشاری و همزمان با برخوردی تشکیل شده‌اند. همین بررسی‌ها نشان می‌دهد که در کرتاسه پایین بر اثر جنبش‌های فاز اتریشین حوضه حیاتی دوباره یافته و سنگ‌های بازی این گامه با ویژگی درون صفحه قاره‌ای تشکیل شده‌اند. حوضه یاد شده در اواخر کرتاسه (پیش از کامپانین) بر اثر جنبش‌های زود هنگام فاز لارامید بسته شده و سنگ‌های رسوی مربوط به محیط قاره‌ای این زمان با سنگ‌آهک‌های



شکل ۱- راه‌های دسترسی به منطقه.

جدول ۱- نتایج تجزیه XRF

System	Type	Sample	Symbol	SiO ₂	TiO ₂	Al ₂ O ₃	Fe ₂ O ₃	FeO	Fe ₂ O ₃ T	MnO	MgO	CaO	Na ₂ O	K ₂ O	P ₂ O ₅	Cr	Cs	Sc	Tb	Co	Eu	Tb
گرانات‌های چینی	گلزار- اسیدی	83.M.280	◆	67.6	0.7	12	24	4.6	7.8	0.1	1.7	2.7	3.9	3.6	0.2	55	62	20	1	13	2	0
گرانات‌های چینی	گلزار- بازیک	83.M.113	●	55.6	2.0	10	3.7	0.5	4.3	0.1	2.1	20.8	3.7	0.6	0.3	201	5	29	0.1	49	1	0.1
گرانات‌های چینی	گلزار- بازیک	83.M.330	●	48.8	2.8	14	4.7	11.1	17.1	0.2	8.0	8.1	2.9	0.6	0.3	187	10	45	0.1	54	2	2
گرانات‌های چینی	دایک- بازیک	83.M.101	■	48.6	0.7	16	25	10.4	14.1	0.2	8.8	7.9	3.7	0.5	0.3	130	2	31	0.1	42	2	1
گرانات‌های چینی	دایک- بازیک	83.M.231	■	50.2	0.8	16	2.4	10.4	14.0	0.2	8.7	5.3	3.4	2.1	0.2	5	8	24	0.1	42	1	1
گرانات‌های چینی	دایک- بازیک	83.M.108	▲	53.9	0.5	17	2.2	8.9	12.1	0.2	5.8	4.9	6.5	0.6	0.3	10	1	23	0.1	28	2	1
گرانات‌های چینی	دایک- بازیک	83.M.295	▲	68.6	0.8	13	25	5.5	8.6	0.2	2.9	2.1	4.9	0.3	0.2	61	31	24	7	12	4	0
گرانات‌های چینی	دایک- بازیک	83.M.390	▲	61.0	0.6	15	2.4	4.5	7.3	0.1	4.2	4.7	4.1	3.5	0.2	37	3	25	0	15	0.1	0
گرانات‌های چینی	دایک- بازیک	83.M.287	◆	58.1	0.7	16	2.4	3.1	5.9	0.1	2.8	10.2	3.2	3.1	0.2	68	3	22	7	18	1	0.1
گرانات‌های چینی	دایک- بازیک	83.M.385	◆	68.4	0.4	15	2.1	3.9	6.4	0.2	1.8	1.6	6.8	0.3	0.2	32	0.1	22	1	10	2	0.1
گرانات‌های چینی	دایک- بازیک	83.M.344	●	68.6	0.8	13	25	5.1	8.2	0.1	2.1	2.5	4.5	0.7	0.2	59	34	16	1	12	6	0
گرانات‌های چینی	دایک- بازیک	83.M.384	●	74.6	0.1	13	1.7	1.5	3.3	0.1	1.5	1.2	5.8	0.5	0.0	41	0.1	23	4	5	1	0.1
گرانات‌های چینی	دایک- بازیک	83.M.10	●	69.3	0.8	13	2.5	4.2	7.1	0.2	0.8	5.4	3.2	0.6	0.2	29	66	16	4	9	2	0
گرانات‌های چینی	دایک- بازیک	83.M.228	●	75.6	0.5	12	2.1	1.7	4.1	0.1	0.5	1.0	4.3	1.8	0.1	95	14	13	1	4	0.1	0
گرانات‌های چینی	دایک- بازیک	83.M.288	●	65.1	0.4	16	2.0	3.0	5.4	0.1	2.1	4.8	3.8	2.7	0.2	51	72	23	1	8	6	0
گرانات‌های چینی	دایک- بازیک	83.M.290	◆	9	9	485	34	202	0	4	0	13	119	66	115	0	3	7	0	0	0	0
گرانات‌های چینی	دایک- بازیک	83.M.113	●	0	21	1588	44	277	0	2	0	25	127	88	78	0	4	4	0	0	0	0
گرانات‌های چینی	دایک- بازیک	83.M.330	●	0	21	1588	44	277	0	5	0	18	81	130	58	0	3	1	0	0	0	0
گرانات‌های چینی	دایک- بازیک	83.M.101	■	0	11	3750	21	382	0	5	0	18	81	130	58	0	3	1	0	0	0	0
گرانات‌های چینی	دایک- بازیک	83.M.231	■	0	39	594	24	97	0	5	0	20	77	83	9	0	3	1	0	0	0	0
گرانات‌های چینی	دایک- بازیک	83.M.108	▲	0	8	406	21	95	0	5	0	20	107	40	3	0	3	2	0	0	0	0
گرانات‌های چینی	دایک- بازیک	83.M.295	▲	0.1	43	79	15	74	0.1	4	0.1	18	81	13	4	46	10	1	38	34	15	48
گرانات‌های چینی	دایک- بازیک	83.M.380	▲	502	70	455	29	0	5	3	0	20	81	54	18	158	4	3	0	0	0	0.1
گرانات‌های چینی	دایک- بازیک	83.M.287	◆	0	8	960	21	142	0	0.1	0	18	78	69	33	0	3	2	0	0	0	0
گرانات‌های چینی	دایک- بازیک	83.M.385	◆	0	5	480	40	132	0	5	0	15	83	20	2	0	3	5	0	0	0	0
گرانات‌های چینی	دایک- بازیک	83.M.344	●	43	45	66	12	64	1	8	0.1	18	79	35	7	60	3	1	18	112	4	31
گرانات‌های چینی	دایک- بازیک	83.M.384	●	0	6	90	33	70	0	4	0	14	46	15	0.1	0	3	4	0	0	0	0
گرانات‌های چینی	دایک- بازیک	83.M.10	●	107	71	400	16	106	1	8	0.1	18	81	13	2	38	8	1	14	87	3	0.1
گرانات‌های چینی	دایک- بازیک	83.M.228	●	442	63	120	15	82	0.1	3	18	17	57	22	11	38	7	2	0.1	98	5	290
گرانات‌های چینی	دایک- بازیک	83.M.288	●	488	95	732	6	144	5	5	64	19	51	16	12	52	5	2	0.1	880	1888	87



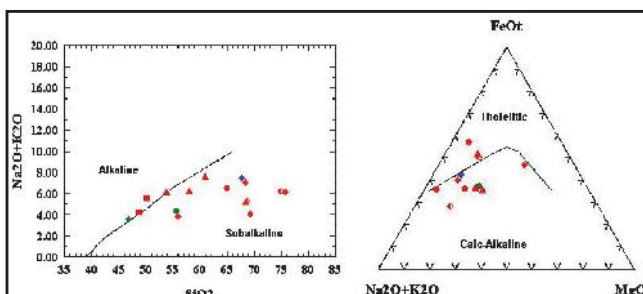
شکل ۳- نمایی از سنگ‌های آتشفشاری-رسوبی ژوراسیک میانی، دید به سوی باختر- شمال باختر.



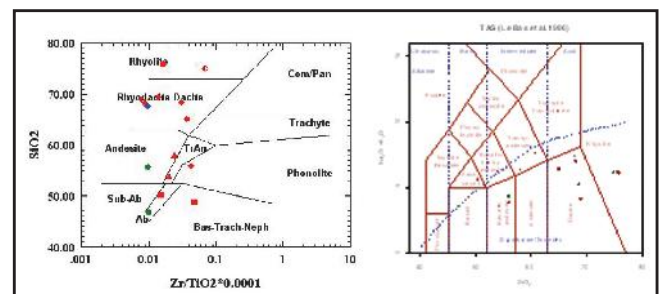
شکل ۵- نمایی از سنگ‌های آتشفشاری- رسوبی کرتاسه بالا، دید به سوی شمال- شمال باختر.



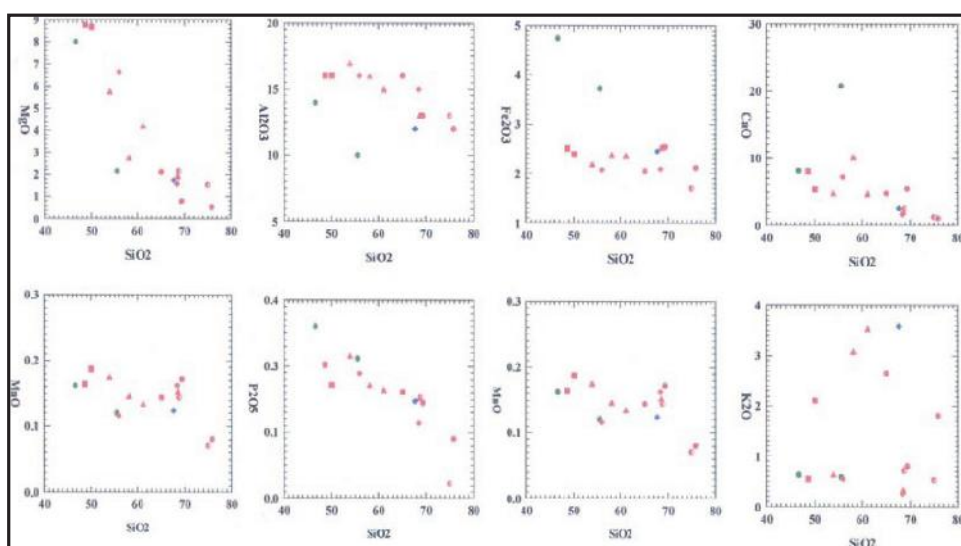
شکل ۴- نمایی از سنگ‌های آتشفشاری-رسوبی کرتاسه پایین، دید به سوی شمال- شمال باختر.



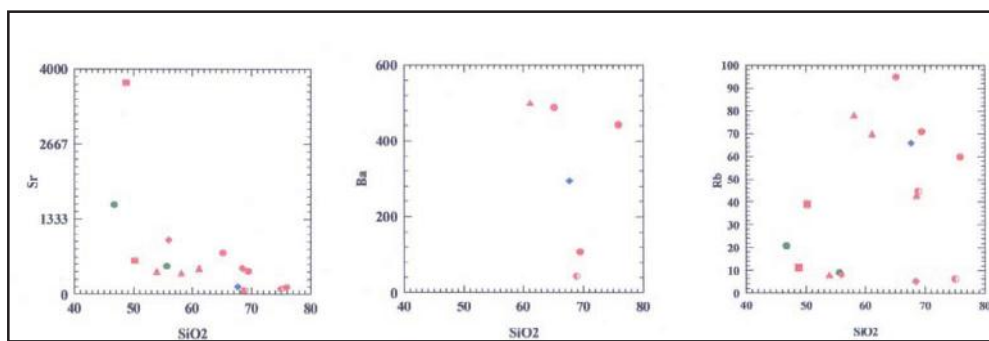
شکل ۷- نمودارهای تعیین سری ماغماهی سنگ‌های منطقه بر اساس مجموع قلیابی‌ها به سیلیس (Irvine & Baragare, 1971).



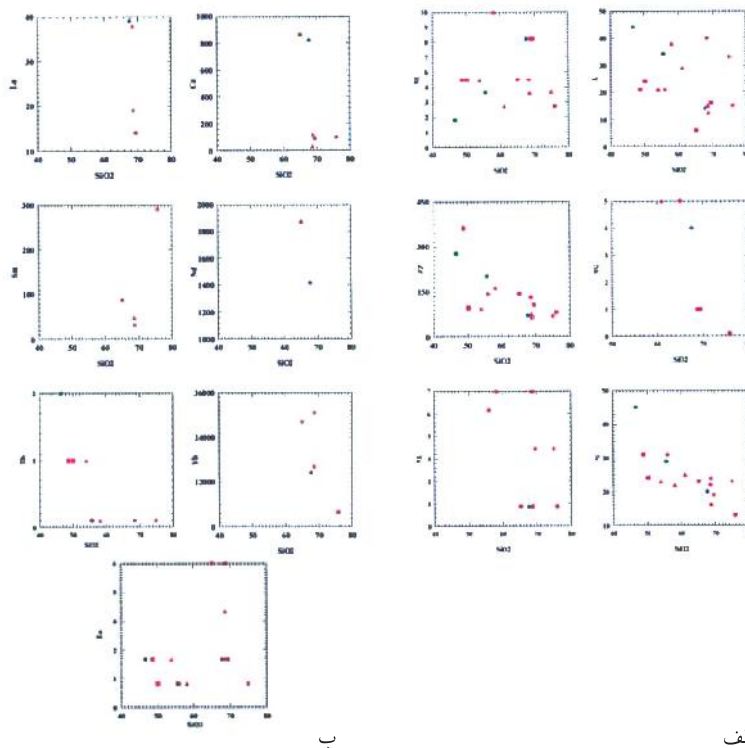
شکل ۶- نمودارهای ردیابی ژئوشیمیایی سنگ‌ها: (الف) نمودار $\text{Na}_2\text{O}+\text{K}_2\text{O}$ در برابر $\text{Zr}/\text{TiO}_2 \times 0.0001$ و (ب) نمودار SiO_2 در برابر $\text{Zr}/\text{TiO}_2 \times 0.0001$ (Le Bas et al., 1986) SiO_2 (Winchester and Floyd, 1977)



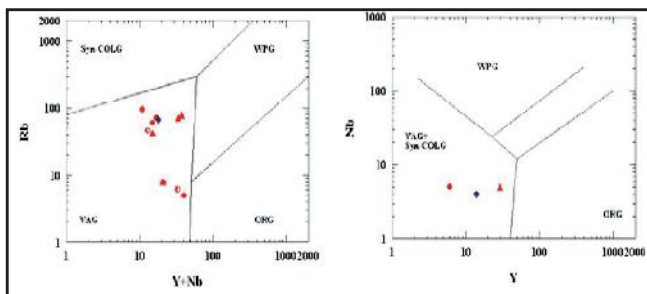
شکل ۸- نمودارهای تغییرات عناصر اصلی در برابر SiO_2



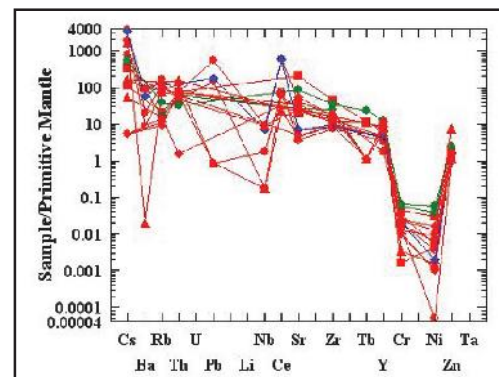
شکل ۹- نمودارهای تغییرات عناصر کمیاب LFS در برابر SiO_2 .



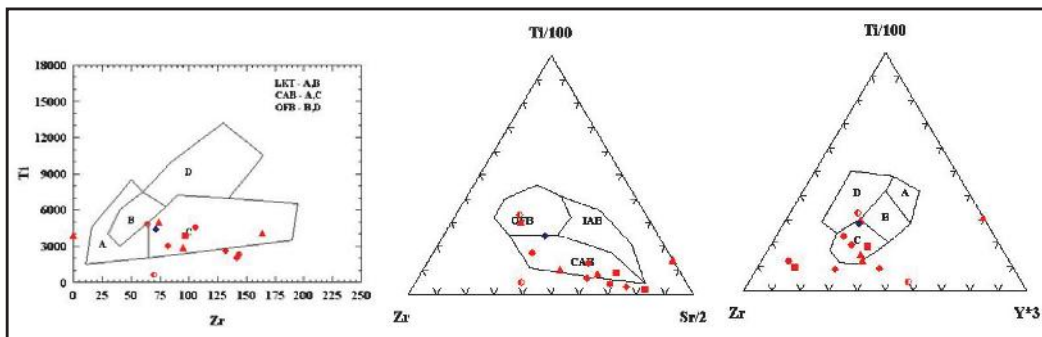
شکل ۱۰- (الف) نمودارهای تغییرات عناصر کمیاب HFS در برابر SiO_2 و (ب) نمودارهای تغییرات عناصر کمیاب REE در برابر SiO_2 .



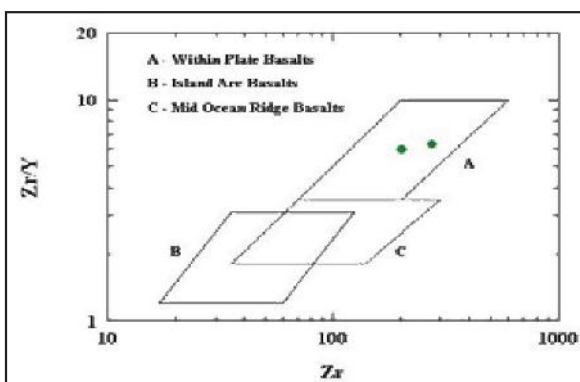
شکل ۱۲- نمودارهای تعیین جایگاه زمین ساختی برای سنگ های ژوراسیک میانی و کرتاسه بالایی (Pearce et al., 1984).



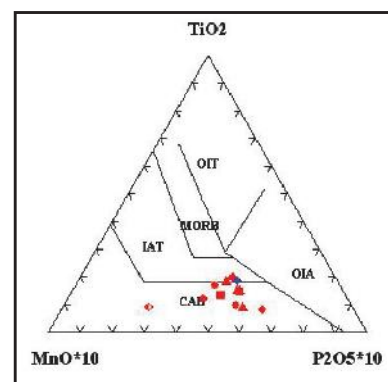
شکل ۱۱- نمودارهای عنکبوتی، نمونه های منطقه مورد بررسی که با گوشه اولیه بهنجار شده اند.



شکل ۱۳ - نمودارهای برای تعیین جایگاه زمین‌ساختی سنگ‌های ژوراسیک میانی و کرتاسه بالایی (Pearce and Cann, 1973)



شکل ۱۵ - نمودار تعیین جایگاه زمین‌ساختی برای سنگ‌های ژوراسیک میانی و کرتاسه پایین (Pearce and Norry, 1979)



شکل ۱۴ - نمودار تعیین جایگاه زمین‌ساختی برای سنگ‌های ژوراسیک میانی و کرتاسه بالایی (Mullen, 1983)

References

- Adhami, F., 1998-The study of Petrography ,geochemistry and petrology of Bagher (Sabzevar) area.Msc, thesis,college of Sciences, University of Training Teacher,p.126.
- Aghanabati, A., 2005- Geology of Iran, Geological Survey of Iran, Tehran, Iran, p.619.
- Alavi, M., 1991- Sedimentary and structural characteristics of the Paleo-Tethys remnants in northeastern Iran. Geological society of America Bulletin, 103, p. 983-992.
- Alavi-Tehrani, N., 1979- Ophiolitic rocks in Iran,results and problems, Geological Survey of Iran,
- Alavi-Tehrani, N., 1980- The distribution of ophiolites in Iran and theirs significance,ophioliti,special issue,2,Roced. p., 315-336.
- Allahmadadi, Sh., Keshani, F., Mohtat, T. & Partouazar, H., 2005- Paleontology reports 1:100,000 scale geological map of Iran, Marri sheet, Geological Survey of Iran, Tehran, Iran.
- Baroz, F., Macaudière, J., Montigny, R., Noghreyan, M., Ohnenstetter, M. & Rocci, G., 1983- Ophiolites and related formations in the Central part of the sabzevar range (Iran) and possible geotectonic reconstructions, Report n:51, Geological Survey of Iran.
- Eftekhar-Nezhad, J., Aghanabati, A., Baroyant, V. & Hamzehpour, B., 1976 - 1:250,000 scale geological quadrangle map of Iran, Kashmar, Geological Survey of Iran, Tehran, Iran.
- Ghaemi, F. & Moussavi-Harami, R., 2007- 1:100,000 scale geological map of Iran, Doruneh sheet, Geological Survey of Iran, Tehran, Iran.
- Ghazi, A. M., Hassaniipak, A. A. & Wallace, K., 1997- Geochemistry, petrology and geology of the Sabzevar ophiolite, northeastern Iran: implication on Tethyan tectonics. Geological Society of America, Abstracts and Programs, 29: A-229.
- Ghaffari-Nike, B., 2001- The study of deformation lower Cretaceous Calcareous – shale unit in Ahmad- Abad area , Msc Thesis, Research Institute, Geological Survey of Iran,p.135.
- Ghasemi, A. & Hajihosaini, A., 2005- 1:100,000 scale geological map of Iran, Dareh Daii sheet, Geological Survey of Iran, Tehran, Iran.
- Hafez, A., 1994- Ophiolites and Melanges of Iran, Petrology Msc thesis, university of Tehran.
- Irvine, T. N. & Baragar, W. R. B., 1971- A guide to the chemical classification of the common volcanic rocks; Canadian J. Earth Sci.; V. 8, P. 523-548.
- Kohansal, R., Ghahraie - Pour, M. & Zolfaghari, S., 2006- Study of Petrology and geochemistry,EarlyCretaceous volcanic facies in Marri area,. Proceedings of the 24th. Symposium on Geoscience, GSI.p.223.
- Kohansal, R., 2008- 1:100,000 scale geological map of Iran, Marri sheet, Geological Survey of Iran, Tehran, Iran.

- Kolivand, H., 2001- Kinematic analysis east half of 1:250000 Khartouran Geological sheet, Msc Thesis, Research Institute Geological Survey of Iran,p.121.
- Le Bas, M. J., Le Maitre, R. W., Streckeisen, A. & Zanettin, B., 1986- A chemical classification of volcanic rocks based on the total alkali-silica diagram. *Journal of Petrology* 27,745-750.
- Le Maitre, R. W., Bateman, P., Dudek, A., Keller, J., Lameyre Le bas, M. J., Sabaine, P. A., Schmid, R., Sorensen, H., Streckeisen, A., Woolly, A. R. & Zanettin, B., 1989- A classification of igneous rocks and glossary of term, Blackwell, Oxford, p.195.
- Lench, G., Mihm, A. & Alavi-Tehrani, N., 1977- Petrography and geology of the ophiolite belt north of Sabzvar/Khorasan (Iran) .Neues Jahrbuch fur Geology un Palaontologie Monatshefte 131, p.156-178.
- Middlemost, E. A. K., 1975- The basalt clan.Earth, sci.Rev., 11,p.337-364.
- Moine-Vaziri, H., 2004- some turning points on tectonomagmatic history of Iran.
- Mullen, E. D., 1983- MnO/TiO₂/P₂O₅: a minor element discriminant for basaltic rocks of oceanic environments and implications for petrogenesis. *Earth Plant .Sci.Lett.*, 62,53-62.
- Navai, I., Salehi-Rad, M. R. & Majidi, B., 1987- 1:250,000 scale geological quadrangle map of Iran, Khartouran, Geological Survey of Iran, Tehran, Iran.
- Noghreyan, M. K., 1982- Evolution geochemique , mine ralogique et structural dun edifice ophiolitique singguliere , Le massif de Sabzevar (partie central (,NE de I, IRAN . Thesis Univ .Nacy, France, p.239.
- Pearce, J. A., 1996- A user's guide to basalt discrimination diagrams. In: Wyman, D.A. (Ed.) trace element geochemistry of volcanic rocks: applications for massive sulphide exploration. *Geol. Assoc. Canada, Short Course Notes*, v. 12, p.79-113.
- Pearce, J. A. & Cann, J. R., 1973- Tectonic setting of basic volcanic rocks determined using trace element analyses, *Earth and Planetary Science Letters*, v. 19, p. 290-300.
- Pearce, J. A. & Peate, D. W., 1995- Tectonic implications of composition of volcanic arc magmas. *Annual Review of Earth Planetary Science*, 23, p.251-285.
- Pearce, J. A., Harris, N. B. W. & Tindel, A. G., 1984- Trace element discriminant diagrams for tectonic interpretation granitic rocks.J.Petrol., 25,956-983.
- Pearce, J. A. & Norry, M. J., 1979- Petrogenetic implication of Ti, Zr, Y and Nb variation in volcanic rocks, *Contribution to Mineralogy and petrology*, 69: 33-47.
- Ricou, L. E., 1974- L' etude geologique de la region de neyriz (zagros Iranian et l'evolution structural, des zagrides.These Univ.Paris-sud Cent.Orsay.p.321.
- Rollinson, H. R., 1993- Using geochemical data, evaluation, presentation, interpretation, Longman Scientific and Technical,p. 352.
- Sadredini, E., 1974- Geologie und Petrographie im Mittelteil des Ophiolith zuges nordlich Sabzevar Khorassan (Iran). Dissertation, Univ. Saarbrucken, pp, 120.
- Salamati, R. & Shafeii, A. R., 2000- 1:100,000 scale geological map of Iran, Ahmad-Abad sheet, Geological Survey of Iran, Tehran, Iran.
- Shirzadi, A. R., 1999- Petrology and geochemistry ophiolite and post ophiolite rocks of north Sabzevar, north of Forumad village, Msc Thesis,Colege of Sciences, Islamic Azad University ,North Tehran branch,p-130.
- Sengor, A. M. C., 1990- A new model for the late Paleozoic – Mesozoic tectonic evolution of Iran and implications for Oman.In: Robertson,A. H. F., Seavle, M. P., Ries, A. C.(Eds.),*The Geology and Tectonics of the Oman Re9, on,Geological Society of London special Publication No.49*,pp.797-831.
- Stocklin, J., 1968- Structural history and tectonics of Iran: a review. *AAPG Bulletin*, 52, p.1229-1258.
- Shojaat, B., Hassanipak, A. A., Mobasherb, K., & Ghazi, A. M., 2003- Petrology, geochemistry and tectonics of the Sabzevar ophiolite, North Central Iran. *Journal of Asian Earth Sciences*. vol 21, Issue 9, p. 1053-1067.
- Shojaat, B., 1999- Petrology, geochemistry and tectonics of the Sabzevar ophiolite, North Central Iran, Department of Geology, Azad University, Tehran, Iran.
- Spies, O., Lensch, G., Mihm, A., 1983-Geochemistry of the post – ophiolitic Tertiary volcanics between Sabzevar and Ghuchan (NE Iran), Geodynamic project IN Iran,Report n:51, Geological Survey of Iran.
- Takin, M., 1972- Iranian geology and continental drift in the Middle East. *Nature*, 235(5334), pp.147-150.
- Vahdati-Daneshmand, F. & Nadim, H., 1999- 1:100,000 scale geological map of Iran, Darin sheet, Geological Survey of Iran, Tehran, Iran.
- Vaziri-Tabar, F., 1976- Geologie und Petrographie der Ophiolithe und ihrer vulkanose dimentaren Folge produkte im Ostteil des Bergzuges nordlich SabzevarKhorassan (Iran). Dissertation, Univ. Saarbrucken, pp .152.
- Winchester, J. A. & Floyd, P. A., 1977- Geochemical discrimination of different magma series and their differentiation products using immobile elements; *Chem. Geol.*, V. 20, P. 325-343.

Jurassic and Cretaceous Magmatism in Marri – Asbkeshan Area, North – Northwest Doruneh – Kashmar Subzone (Khartouran)

R. Kohansal^{1*}, S. Zolfaghari¹ & M. Ghahraie - Pour¹

¹Geological Survey of Iran, Tehran, Iran.

Received: 2008 July 21

Accepted: 2009 July 21

Abstract

The study area is a small part of the Sabzevar structural zone and confined between Semnan and Khorasan provinces. The oldest sedimentary rocks of this region are Middle Jurassic in age with horizons of calc-alkaline rhyolitic- rhyodacitic lavas in between. First appearance of alkaline basaltic lavas, intruded by diabasic dikes in this region appeared along with Early Cretaceous limestone. Late Cretaceous rocks include voluminous calc-alkaline rhyodacitic- rhyolitic and trachyandesitic composition as lavas and dikes, and basaltic dikes with abundant pinkish-cream plagic limestone. This has been overlaid by Paleocene rocks. Harker element variation diagrams indicate contamination and differentiation of basic magma, from a depleted mantel, which is also confirmed with spider diagrams. Tectonomagmatic signatures of Middle Jurassic and Upper Cretaceous volcanic rocks are similar to volcanic arc and syn-collisional magmas which have formed by tectonic movements of Middle Cimmerian and Laramid. Furthermore Austrian orogeny has led to development of Lower Cretaceous basic volcanic rocks within continental plate that are demonstrated in binary and ternary trace element diagrams. The Late Cretaceous-Early Tertiary Laramid orogeny leads to closure of the Neo-Tethys basin by folding and uplifting of the study area. Just in the Marri area lack of intrusive rocks pertaining to mature ophiolitic assemblage, presence of volcano-sedimentary rocks in the upper part of this succession from one side, and abundance of pressure and strike-slip faults with similar mechanism of Doruneh fault from other side, suggest an old suture zone and fast closure of this part of Doruneh- Kashmar trough, and development of colored melange in this area.

Key words: Sabzevar, Doruneh-Kashmar trough, Contamination of magma, Middle Cimerian, Austrian, Laramid, Coloured melange

For Persian Version see pages 159 to 168

* Corresponding author: R. Kohansal; E-mail: Kohansal_reza@yahoo.com

Estimation of Horizontal Location and Depth of Gravity Anomalies using Normalized Full Gradient (NFG)

H. Aghajani^{1*}, A. Moradzadeh¹ & H. Zeng²

¹ Faculty of Mining Eng., Petroleum and Geophysics, Shahrood University of Technology, Shahrood, Iran

² Schools of Geophysics and Information Technology, China University of Geosciences (Beijing), China

Received: 2008 November 24

Accepted: 2009 May 25

Abstract

Estimation of depth and horizontal location of anomalous bodies plays an important role for selecting exploration wells location. There are many methods for depth estimating, and most of them use high-pass filters. The Normalized Full Gradient (NFG) method is one of these methods that use Fourier series to remove deficiencies and eliminate the oscillations which appear on the downward continuation when passing through center of an anomalous body. In this paper, the main goals is calculation of NFG and present a new method for determining optimum number of Fourier terms and use them for synthetic and real two and three dimensional field data. The obtained results on synthetic data indicate that the estimated location and depth of the model is in 10 percent error with the real. The NFG method has also applied on two sets of real field gravity data to determine the location and estimate depth of Humble salt dome (USA) and massive sulfide mineralization of Mobrun (Canada). For the first field data set the NFG has provided a depth to the centre equal to 4.8 km and for the second case the depth to the top section of mineralized body has been estimated 17 meters and its continuation to a depth more than 70 meters has also been confirmed. The obtained results of the NFG method on real field data in each case are in good agreement to those provided by other independent information arises from drilling and other geophysical methods. The above matter clearly illustrates that the NFG method is able enough to locate anomalous bodies and estimate their burial depth precisely.